

濟州와 木浦, 濟州와 莊島間의 表面水溫 變化

盧 洪 吉* · 金 坚**

*濟州大學校 海洋科學大學 漁撈學科 · **서울大學校 自然科學大學 海洋學科

要 約

1979年 12月부터 1981年 6月까지 濟州와 木浦, 濟州와 莊島間을 運航하는 定期 旅客船을 利用하여 月別로 賽集된 表面 水溫資料를 分析한 結果는 다음과 같다.

1. 冬季 및 春季에 濟州 海峽內에 暖流가 流入하여 椒子島와 青山島를 잇는 線까지 그 影響을 미치지만, 그 主流部는 濟州島 沿岸으로부터 12海里 以內에 있다. 이 暖流는 主로 同 海峽內의 西쪽에서 流入되나 季節에 따라서는 變化 可能性도 있다.
2. 南海岸 沿岸水는 青山島, 甫吉島, 橫干島 北쪽 6海里(Sta. 8)點을 잇는 線의 北쪽 沿岸域에 限定되지만 冬季 2月頃에는 그 範圍가 椒子島 附近까지 南下하는 경우도 있다.
3. 椒子島와 青山島 附近에는 水溫前線이 자주 나타난다.
4. 椒子島와 獐水島를 잇는 線 以北의 沿岸域에는 夏季 低溫水가 出現하며, 이 低溫水는 外海쪽의 底層 低溫水의 供給 및 潮流에 의한 強制 鑄直混合과 깊은 關係가 있는 것 같다.
5. 春季 및 夏季에 局地의 冷水가 자주 出現하는 곳은 椒子島, 密梅島, 鳴洋島, 甫吉島 等의 섬 附近과 濟州港 周邊이다.
6. 年中 濟州 海峽쪽이 沿岸域 보다 水溫이 높으며 그 差가 가장 큰 時期는 冬季이고 調査期間中 그 差는 約 8~9°C였다.
7. 年較差는 濟州 海峽이 沿岸域 보다 작고 調査期間中 前者は 12~14°C, 後者は 16~20°C이다. 最高 水溫은 9月에 出現했으나 最低 水溫은 海域에 따라 그 出現 時期가 달랐다.

序 論

韓國 周邊海域의 海洋 研究는 주로 外海를 中心으로 한 것이 대 부분이고 沿岸域에 關한 것은 많지 않다. 沿岸域은 外海域의 海況에 크게 影響을 받을 뿐만 아니라, 陸地로 부터의 陸水流 入, 氣象條件, 潮汐現象, 島嶼의 分布狀態 및 海岸線의 모양 等 諸條件에 의해 그 特性이 크게 달라질 수 있겠다. 特히 韓國 南海의 경우, 外海域은 暖流에 의해 그 海況이 左右 되지만 沿岸域은 이와는 區別되는 南海岸 固有의 沿岸水가 形成되고 있다(姜, 1974; Lim, 1976). 그러므로 韓國 南海의 海況을 보다 詳細히 究明하기 위해서는 沿岸水와 暖流水와의 相互作用 및 沿岸水의 形成過程, 沿岸水의 性質, 擴張範圍 等과 같은 諸事項에 대한 具體的인 研究가 外海域의 研究와 더불어 이루어 져야 한다.

茲 沿岸域은 有用 水產生物의棲息場이며 產卵場과 稚仔 生育場을 兼하고 있으므로 이곳의 環境變化는 바로 水產資源量 變化와 密接한 關係가 있음이 再認識되어 最近 이곳에 대한 研究의 重要性이 強調되고 있다.

그리므로 本 研究는 濟州와 木浦, 濟州와 莊島間을 研究 對象 海域으로 設定하여 沿岸域 研究에 對한 基礎資料를 얻고, 沿岸水와 外海水 之間의 境界域인 前線의 位置, 濟州海峽의 時期別 海況 變化 等을 究明하는데 主目的을 두었다.

本 研究와 關聯이 있는 研究로는 孔(1968, 1971), 姜(1974), 盧·鄭(1975), Lim(1976) 및 金(1982) 等이 있으나 이들 研究는 대체로 研究 對象 海域이 本 研究와 다르거나 또는 調査 海域이 外海쪽에 치우쳐 沿岸域의 狀況이 不明確하다. 本 研究에서는 많은 經費가 所要되는 調査船을 利用하지 않고 定期旅客船을 利用한 低廉한 賽集 方法으로 거의 調査되지 않은 沿

岸域까지 連續調査를 實施한 것이 特徵이다.

資料 및 方法

1. 濟州와 木浦 間의 調査

定期 旅客船 安盛號(407客)를 利用하여 1個月 間隔으로 그림 1의 Line I과 같은 航路線上에 定點을 設定하여 表面水溫 調査와 採水를 實施했다. 定點은 대체로 30分 間隔(約 6海里 間隔) 으로 調査할 수 있도록 配列함을 原則으로 했지만 明確한 物標가 있는 경우는 時間間隔에 구애됨이 없이 物標 正橫時 觀測할 수 있도록 定했다. 즉 濟州와 木浦 間의 調査 定點中 物標를 基準으로 定한 定點은 Sta. 1(濟州港 東埠頭 끝), Sta. 5(水德島), Sta. 6(楸子島東端), Sta. 7(橫干島), Sta. 9(密梅島), Sta. 11(上馬島), Sta. 12(珍島의 碧波), Sta. 13(鳴洋島 灯台), Sta. 14(時下島 灯台), Sta. 15(花源半島 北端), Sta. 16(木浦灣) 等이다. 潮流가 強한 楸子島부터 木

浦까지 沿岸域은 物標 基準으로 定點을 定해 潮流에 의한 觀測 位置의 誤差範圍를 縮小 시켰다. 또 調査 海域中 가장 높은 水溫이 자주 出現하는 濟州島 沿岸 12海里 以內의 海域이나 楸子島, 橫干島 附近과 같은 水溫의 水平變化가 심한 海域에서는 定點 以外에도 5~10分 間隔으로 조밀한 水溫 觀測을 實施했다. 水溫은 表面採水器로 採水한 물의 溫度를 棒狀溫度計로 測定했다.

調查 期間은 1979年 12月부터 1981年 6月까지이며, 每月 調査를 原則으로 했으나 船舶 修理等 旅客船 事情에 의해 1980年 4月과 10月을 비롯하여 1980年 6月, 12月 等이 缺測되었다.

2. 濟州와 莊島 間의 調査

濟州와 木浦 間의 單一 定線 調査 만으로 濟州海峽 및 南海沿岸의 海況을 正確히 把握하기는 미흡하므로 이를 補完할 目的으로 1980年 7月부터 1981年 5月까지 濟州와 莊島 間의 調査를 追加했다. 그러나 調査에 利用한 旅客船 莊濟號의 運航이 1981年 5月 以後는 完全히 中斷되었고 調査 期間 中에도 缺航하는 期間(1980年 3月)이 있어 使用 可能한 資料는 1980年 7月, 8月, 9月의 夏季와 11月 및 1981年 1月, 2月의 冬季 및 4月, 5月의 春季이다. 또 1980年 8月의 경우, 莊濟號가 莊島로 부터 濟州로 向하는 途中緊急指示에 의해 青山島 附近에서 楸子島를 經由하여 濟州港에 入港하는 非正規 航路를 取한 것을 利用하여 그림 1의 Line III과 같이 青山島와 楸子島 間의 調査를 實施 했으며 1980年 9月에는 8月의 青山島와 楸子島 間의 調査를 보다 有效하게 活用할 수 있게 할 目的으로 莊島에서 珍島 碧波까지 航海하는 高速 旅客船을 利用하여 Line IV와 같이 沿岸域의 調査를 追加했다. 水溫測定 方法은 濟州와 木浦 間의 調査 方法과 같다.

結果 및 考察

1. 濟州와 木浦 間의 水溫 分布 및 變化

1) 季節別 特性

冬季(1月~3月) : 1980年, 1981年的 경우 4~16°C의 水溫範圍로서 濟州海峽과 沿岸域과의

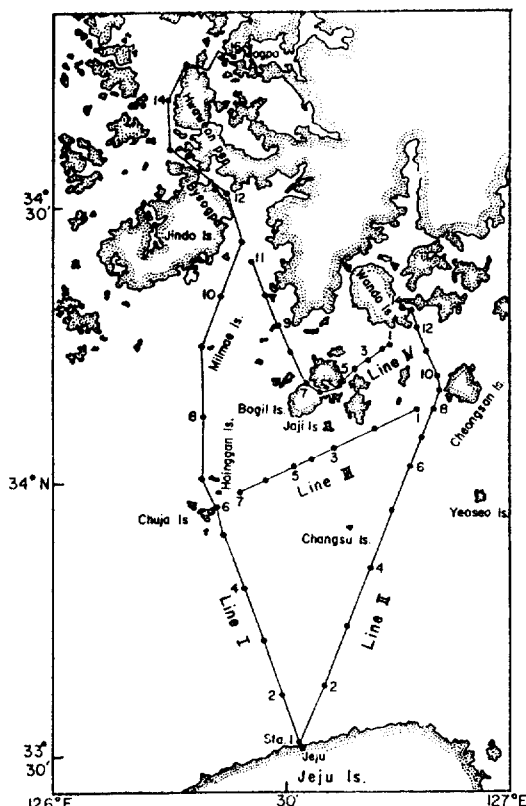


Fig. 1. Location of oceanographic stations.

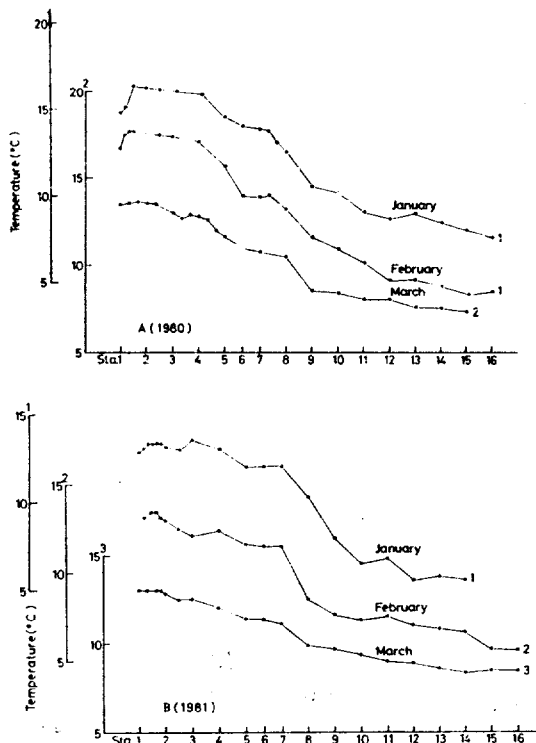


Fig. 2. Variation of sea surface temperature between Jeju (Sta. 1) and Mogpo (Sta. 16) in winter (Jan.-Mar.). Note that the range of temperature is shifted to avoid overlapping of figures.

水溫差가 一年中 가장 커 $8\sim9^{\circ}\text{C}$ 나 되고 海域別로는 濟州쪽이 높고 木浦쪽이 낮다. 특히 濟州島沿岸에서 12海里 以內에 13°C 以上의 高溫水가 出現하여 이 海域中 가장 높은 水溫이 자주 나타나는範圍는 濟州島沿岸으로부터 6海里 以內의 좁은範圍이다(그림 2).

1981年 2月의 水溫分布 狀態(그림 2의 B)로부터 濟州와 木浦間의 冬季 水溫變化를 具體的으로 살펴보면 濟州島沿岸쪽 6海里 以內에 13°C 以上的 最高 水溫域이 있고 濟州海峽의 中央部에 이보다 낮은 $12\sim12.5^{\circ}\text{C}$ 의 水溫이 나타나며 楸子島附近의 水溫은 11.5°C 程度이다. 즉 濟州島沿岸에서 楸子島쪽으로 갈수록 水溫이 緩慢하게 下降했다. 그러나 楸子島北쪽의 橫干島(Sta. 7)를 지나면 水溫이 急히 下降해 橫干島에서 密梅島(Sta. 9)間의 約 13海里 距離에서 水溫은 11.5°C 에서 7.6°C 까지 約 4°C 가량 減少한다. 그러나 密梅島에서 木浦까지는 다시

緩慢한 水溫下降을 보여 密梅島에서 碧波(Sta. 12)까지는 $7.6\sim7^{\circ}\text{C}$ 이고 鳴洋島(Sta. 13)부터 木浦港까지는 $6.8\sim5.6^{\circ}\text{C}$ 의 水溫이 있다.

以上의 水溫分布로 부터 濟州海峽內에는 冬季에도 13°C 以上의 水溫을 維持할 수 있는 暖流의 流入이 있으며, 이 暖流의 主軸은 濟州島로부터 6海里 以內에 存在하고 幅은 2~3海里에 불과할 때도 있다.

그러나 濟州海峽內의 暖流는 冬季에 楸子島附近까지 그 影響을 미치고 南海岸沿岸水의 南쪽 限界는 대체로 密梅島附近까지 이므로 楸子島와 密梅島 사이는 暖流水와沿岸水의 境界域이 된다.

春季(4月~6月) : 1981年 4月부터 6月까지의 水溫은 $11\sim21^{\circ}\text{C}$ 의範圍였다. 그러나 水溫變化의 樣相은 海域에 따라 매우 다르다.

그림 3에서 濟州海峽內는 4月까지 冬季의 水溫이 維持되고 5月 下旬부터 6月 下旬에 걸쳐 5°C 以上的 큰 水溫上昇이 일어나 21°C 에 도달했다. 그러나 沿岸域에서는 濟州海峽보다는 2달쯤 앞선 3月부터 水溫이 上昇하기始作하여 6月 下旬頃에 $17\sim20^{\circ}\text{C}$ 의 水溫에 이른다. 春季 가장 낮은 水溫이 나타나는 海域은 楸子島附近이었다. 이 海域에서는 5月 下旬까지도 12°C 程度의 冬季 水溫이 維持되고 6月 下旬頃에 16°C 程度가 되나 이 水溫도 濟州海峽의 21°C 보다는 5°C 나 낮고, 동시에 沿岸域보다도 $1\sim4^{\circ}\text{C}$ 程度 낮다. 이 低溫現象은 1981年 뿐만 아니고 1980年에도 나타났다. 그러므로 楸子島附近의 春季 低溫現象은 一時的인 現象이 아닌 每年 出現하는 水溫特性이라 할 수 있다.

이와 같은 低溫現象의 出現原因으로는 Kim

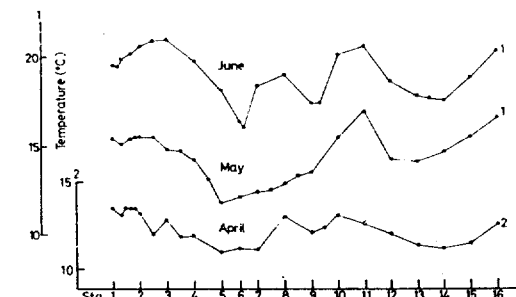


Fig. 3. As in Fig. 2 except for spring 1981 (Apr.-Jun.).

and Lee(1982)의 報告와 같이 強한 潮流와 섬等의 地形의 影響에 基因된 强制 鉛直混合 때문인 것으로 推測되나 이의 明確한 解析은 潮流와 海水의 鉛直的 構造 觀測 等 具體的인 研究가 必要하다.

또 이러한 低溫 現象은 密梅島와 鳴洋島附近에서도 나타났다.

夏季(7月~9月): 그림 4에서 보는 바와 같이 1980년 7月부터 9月까지의 水溫範圍는 16~26°C였으며 濟州海峽內의 最高水溫은 7月 初旬에 20.4°C, 8月 初旬에 24.1°C, 9月 初旬에 26.4°C이고 沿岸域에서는 각각 19.7°C, 23.4°C, 25.4°C였다. 全海域에서 7月부터 9月까지 繼續水溫이 上昇하여 9月에 年中最高水溫에 달했다. 1980년의 最高水溫 出現時期는 濟州島沿岸에서 나타난 最高水溫 出現時期(盧·鄭, 1976)보다 約 1달쯤 늦다.

夏季의 水溫分布 特徵을 最高水溫이 出現한 9月의 資料를 利用하여 좀 더 具體적으로 살펴보자. 濟州港과 楸子島附近에 23~24°C의 低溫이 나타나고 濟州海峽 中央域에 26°C以上의 高溫이 存在하며 楸子島로부터 木浦間의 沿岸域에는 局地的으로 24~25°C의 水溫도 있지만 대체로 23~24°C의 水溫이 나타난다.

以上의 結果로 부터 夏季 濟州와 木浦間의 水溫分布 特徵으로서는 沿岸域이 濟州海峽보다 水溫이 낮은 것을 들 수 있다. 一般的으로 水深이 얕은 沿岸域은 大氣의 影響을 많이 받아 夏季에 濟州海峽보다 水溫이 높을 것이 豐想된다. 이러한 大氣의 影響은 冬季의 경우에 매우 잘 나타났다. 즉 冬季 沿岸域의 水溫은 濟州海峽의 水溫보다 아주 낮아 무려 8~9°C 程度의 差

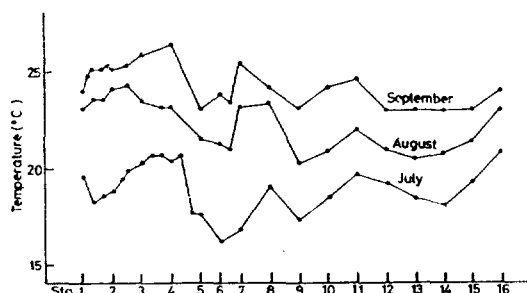


Fig. 4. As in Fig. 2 except for summer 1980 (Jul.-Sep.).

를 보였다. 이와 같은 水溫差는 沿岸域은 热損失의 結果로 水溫이 매우 낮았는데 반해 濟州海峽側은 水深이 깊어 이와 같은 效果가 적게 나타나고, 더욱 暖流의 流入은 比較的 높은 水溫을 維持시킨다. 夏季에는 大氣의 影響을 많이 받는 沿岸域의 水溫이 濟州海峽보다 높거나 거의 비슷하게 나타날 것이 期待된다. 그러나 沿岸域의 水溫은 24~25°C 程度로, 오히려 海峽內의 水溫보다 낮다. 이처럼 水溫이 높을 것이 期待되는 沿岸域에 낮은 水溫이 維持되기 위해서는 外海로 부터 繼續的인 低溫水의 供給이 있어야 한다. 이 低溫水의 供給源으로 濟州海峽內의 底層水와 黃海 底層水 等을 생각할 수 있으나 本研究만으로는 그 根源을 가려내기 어렵다. 이와 같은 底層 低溫水의 供給과 潮流에 의한 强制 鉛直混合이 南海岸 沿岸水의 夏季 低溫現象을 誘發하는 것 같다. 그러므로 夏季 沿岸域의 水溫分布가 高溫域과 低溫域 等으로 不規則하게 나타나는 것도 低層 低溫水의 供給 및 鉛直混合의 程度에 따라 表面水溫이 달라지기 때문이라고 判斷된다. 以上과 같은 問題에 대해서는 앞으로 더욱 詳細한 研究가 뒷받침 되어야 할 것이다.

南海岸 沿岸域의 全般的 低溫 現象以外에 濟州港附近에도 局地的 低溫 現象이 있으며 春季에 나타났던 楸子島附近의 低溫은 夏季에도 持續됐다.

秋季(11月~12月): 資料가 不充分하여 秋季의 水溫 特性을 論하기는 미흡한 點이 있으나 1980年 11月과 1979年 12月의 資料를 斷片的이나마 記述하고자 한다.

1980年 11月의 水溫은 14.5~19°C로 이 水溫範圍는 9月 最高水溫보다 7~9°C 程度 낮다. 그림 5에서 濟州島로부터 6海里 以內에 19°C 程度의 高溫이 있고 楸子島쪽으로 갈수록 점차 水溫이 下降하여 楸子島附近에서 水溫이 15°C가 되며 이 水溫은 木浦港까지 거의 變化 없이 維持됐다. 그러므로 秋季에도 濟州海峽의 水溫이 대체적으로 높고 沿岸域이 낮지만 楸子島부터 木浦港까지 沿岸域의 水溫은 거의 一定한 것 이 特徵이다.

1979年 12月에는 濟州港으로 부터 楸子島附

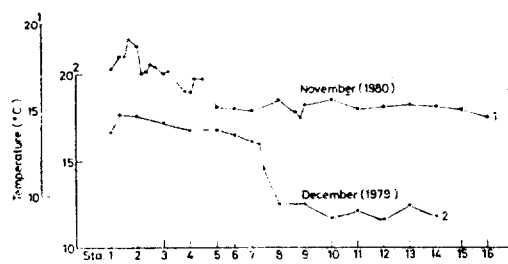


Fig. 5. As in Fig. 2 except for autumn (Nov.-Dec.).

近까지 $16\sim17^{\circ}\text{C}$ 의 거의一定한水溫이維持되다가 橫干島에서 Sta. 8까지 6海里距離에서 3°C 以上的 큰下降이 있고 Sta. 8부터 木浦港까지는 다시 12°C 內外의 거의 같은水溫이維持했다. 濟州海峽內의高溫水와沿岸域의低溫水는 橫干島(Sta. 7)와 Sta. 8 사이에서 심한水平傾斜를 이룬다.

以上의季節別水溫特性으로 부터究明된것을要約하면年中濟州海峽內의水溫이沿岸域의水溫보다높고이두海域間의水溫差는冬季에가장크며그差는 $8\sim9^{\circ}\text{C}$ 程度다. 이처럼冬季에水溫差가큰것은水深에따른熱損失效果의差異와濟州海峽內의暖流流入때문이다. 이暖流水와沿岸水는冬季및春季의경우楸子島와密梅島사이에서서로接한다.

境界域에해당되는楸子島附近에는春季부터夏季에걸쳐冷水가出現하며이冷水는夏季濟州港附近,密梅島等에도局地的으로나타난다.

夏季에南海岸沿岸域에濟州海峽보다水溫이낮은低溫水가維持되는것은外海로부터底層低溫水가持續的으로供給되고있음을示唆하고있다.

2) 年變化

그림6은1979년12月부터1980年11月까지一年동안에걸친濟州와木浦사이에서觀測된表面水溫年變化를나타낸것이다. 4月, 6月 및10月의缺測으로不充分한點은있으나이海域의水溫變化狀態를概括的으로把握하는데는도움이되겠다.

濟州海峽은2月에서3月에 $13\sim13.5^{\circ}\text{C}$ 程度의最低水溫이나타나고9月初에 26°C 를넘는最高水溫이나타나年變化의幅은約 13°C 가됐다. 그러나南海岸沿岸은2月初에 $4\sim8^{\circ}\text{C}$ 의最低水溫이나타나며9月初에 $23\sim24^{\circ}\text{C}$ 의最高水溫에이른다. 따라서南海岸沿岸域의水溫年變化幅은 $16\sim19^{\circ}\text{C}$ 로濟州海峽보다 $3\sim6^{\circ}\text{C}$ 쯤크다. 最高水溫은濟州海峽과沿岸域모두9月初에나타났으나最低水溫이觀測된時期는海域에따라달랐다. 全海域의最低水

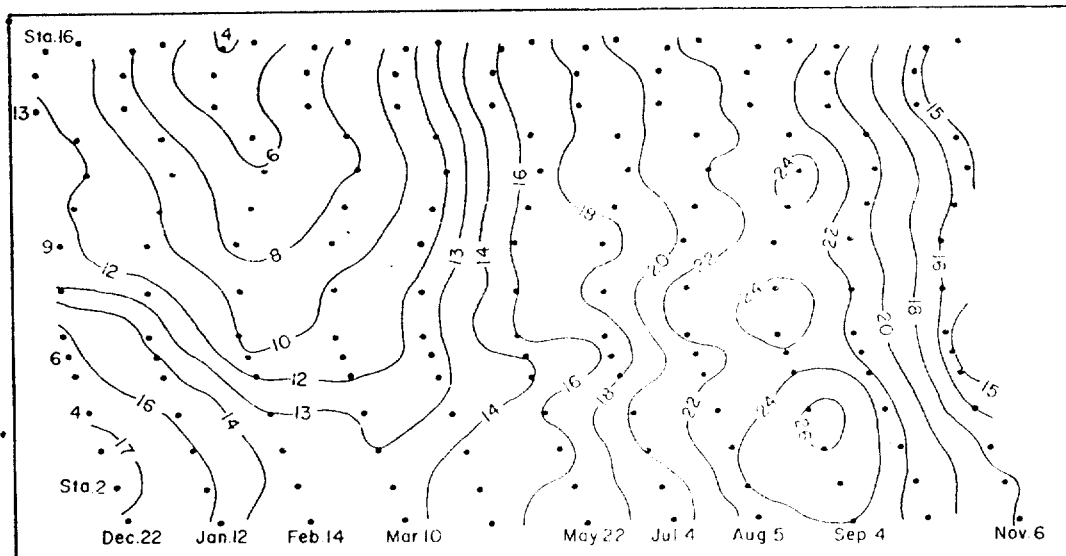


Fig. 6. Annual variation of sea surface temperature between Jeju and Mogpo from December 1979 to November 1980.

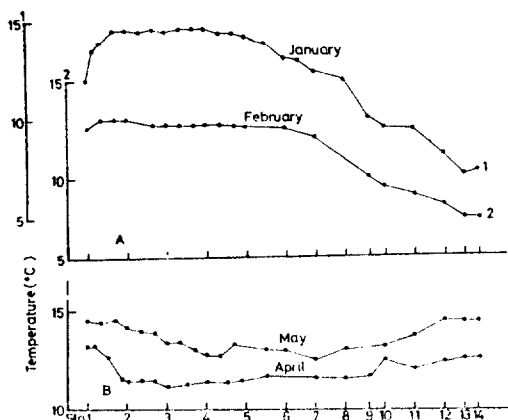


Fig. 7. Variation of sea surface temperature between Jeju (Sta. 1) and Wando (Sta. 14) in winter (A) and spring (B) 1981.

溫은 2月에 水浦港에서 나타났으며 이 때의 水溫은 3.9°C 이고 最高 水溫은 濟州海峽內인 Sta. 4의 26.4°C (9月)였다.

冬季 10°C 以下의 沿岸 低溫水의 범위가 가장 넓어지는 時期는 2月이고 그 南下限界는 楸子島附近이다. 그러므로 楸子島附近은 대체적으로 暖流 範圍에 包含되나 冬季 最低 水溫이 出現하는 時期에 限해 一時的으로 沿岸水의 範圍에 들어갈 可能性이 있다.

2. 濟州와 莊島間의 水溫 分布 및 變化

冬季(1月~3月) : 그림 7은 濟州와 莊島間의 1981年 1月과 2月의 水溫分布 狀態를 나타낸 것이다. 1981年 2月에 13°C 의 高溫水가 濟州港으로 부터 約 6海里 떨어진 Sta. 2에서 나타나고, 이 곳으로 부터 Sta. 6까지는 12.5°C 程度의一定 水溫이 維持했다. 그러므로 濟州港으로부터 30海里 以上의 넓은 範圍에 $12.5\sim13^{\circ}\text{C}$ 의 高溫海域가 存在한다. 그러나 Sta. 6부터 莊島港까지는 水溫이 점차 下降해 莊島港의 水溫이 7.9°C 가 됐다. 水溫 變化가 가장 큰 海域은 Sta. 7에서 Sta. 10 사이이고 約 6海里의 距離에 시 2.5°C 의 變化가 있었다.

1月의 水溫 分布도 2月보다 水溫이 약간 높은 것을 除外하면 거의 비슷한 樣相이다.

以上의 結果로 부터 濟州港으로부터 30海里 以上的 넓은 海域에 높은 水溫을 維持하는 暖流의 主流部가 있고, 靑山島附近에는 楸子島附近에서와 같이 暖流水와 沿岸水의 境界域이 形

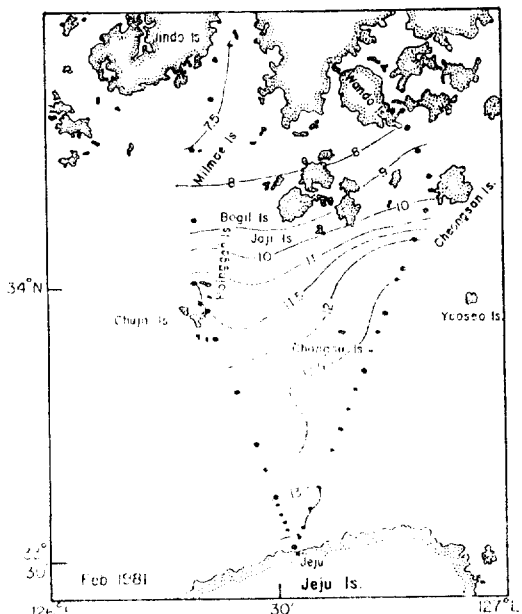


Fig. 8. Horizontal distribution of sea surface temperature in February 1981.

成되어 南海岸 沿岸水는 莊島周邊의 좁은 海域에 局限되어 있음을 알 수 있다.

그림 8은 濟州와 木浦, 濟州와 莊島間에서 2月에 審集한 表面 水溫 資料를 利用하여 作成한 水溫 水平分布圖이다. 楸子島와 靑山島를 잇는 線周邊에 暖流水와 沿岸水의 境界를 이루는 水溫前線이 뚜렷이 存在하며 이 前線의 沿岸쪽에는 9°C 以下의 沿岸水가 外海쪽에는 12°C 以上의 暖流水가 있다. 그러므로 12°C 線을 基準으로 할 때 暖流의 範圍는 濟州와 楸子島 사이보다 濟州와 靑山島 사이가 더 넓으며 특히 12.5°C 以上的 高溫水 範圍는 濟州와 靑山島 사이가 濟州와 楸子島 사이보다 훨씬 넓다. 또 13°C 의 等溫線은 濟州港으로부터 6海里 以內의 좁은 海域에만 나타난다.

春季(4月~5月) : 1981年 4月과 5月에 觀測된 水溫은 靑山島에서 莊島에 이르는 沿岸域에서 2月에 觀測된 水溫보다 높지만 그 外의 海域은 冬季 水溫보다 下降했거나 거의 같다(그림 7-B). 특히 4月의 경우는 濟州海峽內 거의 全域이 11.5°C 程度의 最低 水溫을 나타냈고 이 水溫은 5月이 되어도 크게 上昇하지 않고 $13\sim14^{\circ}\text{C}$ 의 水溫 範圍였다. 이와 같이 水溫 變化는 楸子

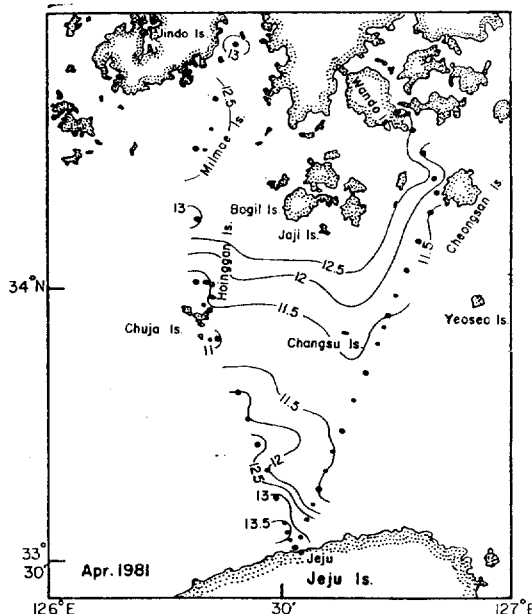


Fig. 9. Horizontal distribution of sea surface temperature in April 1981.

島附近의 春季 水溫變化樣相과 매우 類似하다. 이러한 類似性이 나타나는 緣由와 濟州海峽內의 水溫水平分布狀態를 보다 具體的으로 살피기 위해 그림 9와 같이 4月의 水溫水平分布圖를 만들었다. 이것에 의하면 楸子島附近에 있는 11.5°C 以下의 低溫水가 濟州島沿岸 가까이까지 擴張되는 部分이 있고 이 部分에 해당되는 濟州와 青山島間의 4月 水溫은 2月 水溫보다 낮다. 이처럼 濟州와 青山島間의 거의 全域에 11.5°C 以下의 低溫水가 出現한 것과는 對照的으로 濟州와 楸子島 사이에는 12°C 以上的 水溫域이 넓은 範圍를 차지하며 또 濟州島沿岸쪽에는 13°C 以上的 高溫水가 出現하고 있다. 이와 같은 水溫水平分布狀態로 보아 濟州海峽 西쪽에서流入되리라豫想되는 12°C 以上的 暖流水는 濟州와 楸子島를 잇는 線의 以西 海域에만 그 影響을 미치고 있어 濟州島 西쪽에서 濟州海峽內로流入하는 暖流의 存在는 認定되지만 이 暖流가 반드시 濟州海峽 東쪽으로 流出된다고速斷할 수는 없다.

夏季(7月~9月)：濟州와 莊島間의 夏季 水溫分布를 考察하면 濟州港附近의 低溫水를 除外할 때 濟州島쪽에 高溫域이 있고 青山島와 莊島

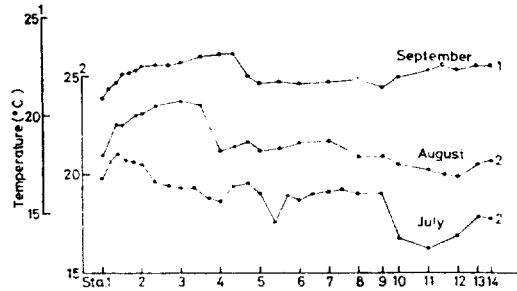


Fig. 10. As in Fig. 7 except for summer 1980.

間의 沿岸域에 低溫水가 있다. 特히 7月에 沿岸域의 低溫現象이 두드러졌다(그림 10). 그러므로 夏季 水溫分布狀態에 비추어 濟州와 莊島間을 濟州港부터 Sta. 4~5까지의 高溫域과 이 끝으로 부터 青山島까지의 中間域, 青山島부터 莊島까지의 沿岸域으로 나눌수 있다. 高溫域과 中間域의 境界가 되는 Sta. 4~5에서 (獐水島附近) 水溫의 變化가 심했다. 이 境界域을 지나면 青山島까지 거의 一定한 水溫이 維持되고 그 水溫은 9月에도 23°C 를 넘지 않았다. 즉 9月에는 沿岸域보다 오히려 中間域의 水溫이 낮았다.

以上의 水溫分布狀態는 夏季 濟州海峽內에 몇 개의 異質水鬼가 出現可能함을 示唆하고

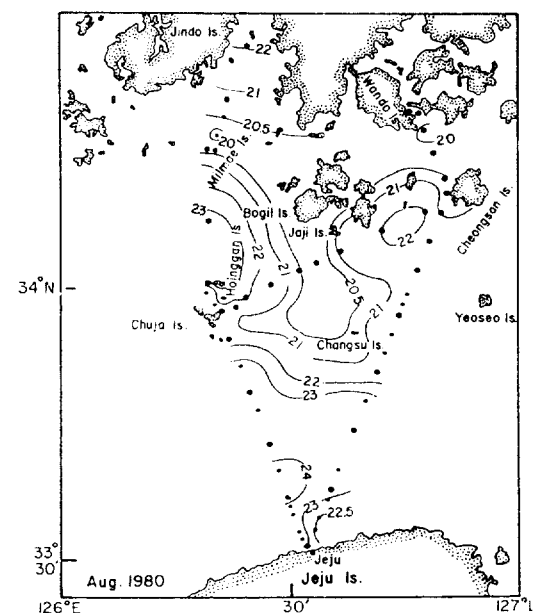


Fig. 11. Horizontal distribution of sea surface temperature in August 1980.

있다. 그림 11은 濟州와 木浦, 濟州와 莊島 및 靑山島와 椒子島間에서 菲集된 水溫 資料를 綜合하여 夏季 沿岸域의 低溫 現象을 보다 仔細히 알 수 있도록 作成한 8月의 水溫 水平分布圖이다. 低溫水는 限定된 海域에만 出現하는 것이 아니고 椒子島와 靑山島를 잇는 線의 沿岸쪽 거의 全域에 出現하고 있다. 그러나 이 低溫域中에도 浦吉島 外海쪽 즉者 只島 周邊과 密梅島附近, 莊島入口附近에는 20°C 程度의 가장 낮은 水溫이 나타나고 이와는 反對로 橫干島 北쪽에는 23°C 程度의 比較的 高溫域이 있다. 이처럼 海域에 따라 水溫差가 큰 것도 夏季 沿岸域에서 發見되는 重要한 水溫分布의 特徵이다.

謝 辭

本研究의 資料 菲集에 協力하여 주신 安盛號 및 莊濟號 船員들과 現場 調査를 담당한 濟州大學 海洋科學大學 尹良湖 助教 및 資料 整理를 도와준 金暉起 君에게 깊은 감사를 드린다. 아울러 原稿를 면밀히 읽어주신 서울大學校 鄭鍾律 教授님께도 心深한 謝意를 表한다. 本研究

는 1979年부터 1981年까지 韓國科學財團의 支援으로 可能하였다.

參 考 文 獻

- 姜詰中, 1974. 韓國 南海岸 沿岸水의 季節變動에 關한 研究. 國立水產振興院 研究報告, 12:107-121.
- 孔 永, 1968. 沿岸水溫의 季節變動에 關하여. 國立水產振興院 研究報告, 3:57-59.
- 孔 永, 1971. 韓國 南海岸 前線에 關한 研究. 韓國海洋學會誌, 6(1):15-36.
- Kim, K. and S.H. Lee, 1982. Vertically homogeneous water along the west coast of Jeju Island. J. Oceanol. Soc. Korea, 17(2):51-58.
- 金福起, 1982. 韓國 南海의 水溫과 鹽分의 變動係數. 韓國海洋學會誌, 17(2):74-82.
- 盧洪吉·鄭公忻, 1975. 濟州海峽의 夏季海況에 關하여. 濟州大學 漁業研究誌, 7:14-20.
- 盧洪吉·鄭公忻, 1976. 濟州島 沿岸의 水溫 鹽分 變動에 關한 研究 I. 濟州大學論文集, 8:115-122.
- Lim, D.B., 1976. The movements of the waters off the south coast of Korea. J. Oceanol. Soc. Korea, 11(2):77-88.

VARIATIONS OF SEA SURFACE TEMPERATURE BETWEEN JEJU AND MOGPO AND BETWEEN JEJU AND WANDO

Hong Kil Rho* and Kuh Kim**

*Department of Fishing Technology, College of Ocean Sciences and Technology,
Jeju National University, Jeju 590, Korea

**Department of Oceanography, College of Natural Sciences, Seoul National
University, Seoul 151, Korea

ABSTRACT

A series of ships-of-opportunity sea surface temperature (SST) measurement between Jeju and Mogpo and between Jeju and Wando during a period from December 1979 through June 1981 produced following results.

1. A significantly warm water appeared south of Chuja Island and Cheongsan Island during winter and spring. This water is particularly conspicuous within 12 nautical miles from Jeju Island. It is suggested that this water represents a current entering the Jeju Strait from the west. Direction of this current in other seasons is not certain.
2. Coastal waters were found north of the Cheongsan Island and Bogil Island throughout the measurement period. In February these waters sometimes reached as far as Chuja Island to south.
3. Frequently thermal fronts were observed near the Chuja Island and the Cheongsan Island.
4. In summer cold waters appeared north of the Chuja Island and Changsu Island. Intrusion of cold bottom water from offshore and its subsequent vertical mixing due to strong tidal current are probably responsible for this appearance.
5. Cold waters also appeared locally around islands and in the Jeju Harbor in spring and summer.
6. North-south SST difference reached 8~9°C in winter which is the annual maximum.
7. Annual range of SST varies from 12~14°C in the central part of the Jeju Strait to 16~20°C in coastal waters to north. The highest SST appeared everywhere in September but the lowest one did not appear in the same month of year.